

Э.П. Зеге, И.Л. Кацев, И.И. Полонский

МОДИФИКАЦИЯ МАЛОУГЛОВОГО ДИФФУЗИОННОГО ПРИБЛИЖЕНИЯ С УЧЕТОМ ОСОБЕННОСТЕЙ ФОРМЫ ИНДИКАТРИСЫ РАССЕЙНИЯ В МАЛЫХ УГЛАХ

Разработана простая модификация малоуглового диффузионного приближения, позволяющая учитывать влияние формы индикатрисы рассеяния в малых углах на описание пространственно-угловых распределений интенсивности и освещенности рассеянного света. Показано, что предложенная методика позволяет удовлетворительно описать эти распределения на любых оптических глубинах.

Известны те трудности, с которыми сопряжены попытки аналитического представления радиального размытия освещенности и пространственно-углового распределения яркости в задачах о распространении узкого пучка света в средах с сильно анизотропным рассеянием. Лишь для случая предельно больших оптических толщин имеются отдельные аналитические решения [1]. Малоугловое приближение (МУП) дает удобные представления для Фурье-образов упомянутых функций при некотором простейшем задании индикатрисы рассеяния, получение же самих распределений связано с необходимостью выполнения численных многомерных Фурье-преобразований [2]. Кроме того, применимость МУП ограничена областью не очень больших значений оптических толщин. Даже в совокупности область применимости асимптотических решений при $\tau \gg 1$ и МУП не перекрывает весьма важный интервал промежуточных оптических толщин.

В последнее время широко используется очень удобное для инженерных расчетов малоугловое диффузионное приближение (МДП) [3], которое позволяет с достаточной точностью определить некоторые интегральные характеристики световых полей. Однако в рамках МДП пространственно-угловые структуры светового поля моделируются гауссовым распределением, которое не учитывает ни локальных особенностей функции Грина задачи, ни тесной корреляции ее (особенно для не очень больших оптических толщин) с индикатрисой рассеяния, информация о которой входит в решения МДП только через один параметр — среднеквадратическое отклонение в акте рассеяния. Последнее обстоятельство особенно критично для оптических индикатрис рассеяния, которые, как правило, имеют острый пик в области очень малых углов и сравнительно медленно спадают вне его пределов. Так, для модели облака С.1 [4] для углов рассеяния $\beta \lesssim 3^\circ$ содержится 40% рассеянного света, при рассеянии в морской воде приблизительно 60% энергии распространяется в углах $\beta \lesssim 6^\circ$.

В данной статье делается попытка улучшить описание пространственно-угловой структуры светового поля в рамках модифицированного МДП.

Представим интенсивность светового поля J в виде суммы интенсивности нерассеянного (прямо прошедшего) $J_{\text{пр}}$ и рассеянного J_s световых полей, которые удовлетворяют следующим уравнениям:

$$\hat{D}J_{\text{пр}}(\tau, \bar{r}, \bar{n}_\perp) = 0; \quad (1)$$

$$\hat{D}J_s(\tau, \bar{r}, \bar{n}_\perp) = \lambda \int_{-\infty}^{+\infty} d\bar{n}'_\perp \chi(|\bar{n}_\perp - \bar{n}'_\perp|) J_s(\tau, \bar{r}, \bar{n}'_\perp) + \lambda B(\tau, \bar{r}, \bar{n}_\perp),$$

где $\hat{D} = \left(1 - \frac{\bar{n}_\perp^2}{2}\right) \frac{\partial}{\partial \tau} + \bar{n}_\perp \frac{\partial}{\partial \bar{r}} + 1$; (τ, \bar{r}) — оптические координаты точки в декартовой системе с осью 0τ , направленной вглубь среды перпендикулярно ее границе; \bar{n}_\perp — проекция единичного вектора направления \bar{n} на плоскость $\tau = \text{const}$; λ — альбеда однократного рассеяния; $\chi(\beta)$ — индикатриса рассеяния света. Функция источника λB в уравнении для J_s описывает однократно рассеянный свет, т.е.

$$B(\tau, \bar{r}, \bar{n}_\perp) = \int_{-\infty}^{+\infty} d\bar{n}'_\perp \chi(|\bar{n}_\perp - \bar{n}'_\perp|) J_{\text{пр}}(\tau, \bar{r}, \bar{n}'_\perp). \quad (2)$$

Выражение для $J_{\text{пр}}$ в случае источника с узкой диаграммой направленности имеет вид

$$J_{\text{пр}}(\tau, \bar{r}, \bar{n}_\perp) = e^{-\tau} J_0(\bar{r} - \bar{n}_\perp \tau, \bar{n}_\perp), \quad (3)$$

где $J_0(\bar{\mathbf{r}}, \bar{\mathbf{n}}_\perp)$ — пространственно-угловое распределение интенсивности, создаваемое источником на границе среды.

Теперь представим индикатрису рассеяния в виде

$$\chi(\beta) = a_1\chi_1(\beta) + a_2\chi_2(\beta), \quad (4)$$

где $\chi_1(\beta)$ описывает пик в области малых углов, а $\chi_2(\beta)$ — оставшуюся часть индикатрисы, причем

$$\int_0^\infty \chi_i(\beta) \beta d\beta = 1; \quad a_1 + a_2 = 1; \quad \beta_2^{(1)} = \int_0^\infty \beta^2 \chi_i(\beta) \beta d\beta; \quad \beta_2^{(1)} \ll \beta_2^{(2)} \ll 1 \quad (i = 1, 2).$$

В соответствии с таким представлением индикатрисы интенсивность рассеянного излучения J_s будем искать в виде

$$J_s(\tau, \bar{\mathbf{r}}, \bar{\mathbf{n}}_\perp) = J_1(\tau, \bar{\mathbf{r}}, \bar{\mathbf{n}}_\perp) + J_2(\tau, \bar{\mathbf{r}}, \bar{\mathbf{n}}_\perp), \quad (5)$$

где J_1 удовлетворяет уравнению

$$\hat{D}J_1(\tau, \bar{\mathbf{r}}, \bar{\mathbf{n}}_\perp) = \lambda_1 \int_{-\infty}^{+\infty} d\bar{\mathbf{n}}'_\perp \chi_1(|\bar{\mathbf{n}}_\perp - \bar{\mathbf{n}}'_\perp|) J_1(\tau, \bar{\mathbf{r}}, \bar{\mathbf{n}}'_\perp) + \lambda_1 B_1(\tau, \bar{\mathbf{r}}, \bar{\mathbf{n}}_\perp) \quad (6)$$

при $\lambda_1 = \lambda a_1$.

$$B_1(\tau, \bar{\mathbf{r}}, \bar{\mathbf{n}}_\perp) = \int_{-\infty}^{+\infty} d\bar{\mathbf{n}}'_\perp \chi_1(|\bar{\mathbf{n}}_\perp - \bar{\mathbf{n}}'_\perp|) J_{\text{пп}}(\tau, \bar{\mathbf{r}}, \bar{\mathbf{n}}'_\perp). \quad (7)$$

Из (1), (4)–(6) следует, что J_2 является решением уравнения

$$\begin{aligned} \hat{D}J_2(\tau, \bar{\mathbf{r}}, \bar{\mathbf{n}}_\perp) &= \lambda a_2 \int_{-\infty}^{+\infty} d\bar{\mathbf{n}}'_\perp \chi_2(|\bar{\mathbf{n}}_\perp - \bar{\mathbf{n}}'_\perp|) J_2(\tau, \bar{\mathbf{r}}, \bar{\mathbf{n}}'_\perp) + \lambda a_2 B_2(\tau, \bar{\mathbf{r}}, \bar{\mathbf{n}}_\perp) + \\ &+ \lambda_1 \int_{-\infty}^{+\infty} d\bar{\mathbf{n}}'_\perp \chi_1(|\bar{\mathbf{n}}_\perp - \bar{\mathbf{n}}'_\perp|) J_2(\tau, \bar{\mathbf{r}}, \bar{\mathbf{n}}'_\perp), \end{aligned} \quad (8)$$

где

$$B_2(\tau, \bar{\mathbf{r}}, \bar{\mathbf{n}}_\perp) = \int_{-\infty}^{+\infty} d\bar{\mathbf{n}}'_\perp \chi_2(|\bar{\mathbf{n}}_\perp - \bar{\mathbf{n}}'_\perp|) J_{\text{пп}}(\tau, \bar{\mathbf{r}}, \bar{\mathbf{n}}'_\perp) + J_1(\tau, \bar{\mathbf{r}}, \bar{\mathbf{n}}_\perp).$$

Отметим, что уравнения (6) и (7) являются строгим следствием (1) при произвольном разбиении индикатрисы (4).

Рассмотрим решение уравнения (6), которое описывает рассеянную компоненту излучения, соответствующую индикатрисе $\chi_1(\beta)$. В этом случае выполняются все требования применимости МДП: сильно-вытянутая индикатриса рассеяния, источники $\lambda_1 B_1(\tau, \bar{\mathbf{r}}, \bar{\mathbf{n}}_\perp)$ с малой, но конечной угловой расходимостью, малая вероятность выживания фотона $\lambda_1 = \lambda a_2$. Решение уравнения (6) можно записать в виде

$$J_1(\tau, \bar{\mathbf{r}}, \bar{\mathbf{n}}_\perp) = \frac{g_1}{4\pi^2(\sigma_1 \mu_1 - A_1^2)} \exp \left\{ -\frac{\bar{\mathbf{r}}^2}{2\mu_1} - \frac{\left(\bar{\mathbf{n}}_\perp - \frac{A_1}{\mu_1} \bar{\mathbf{r}}\right)^2}{2\left(\sigma_1 - \frac{A_1^2}{\mu_1}\right)} \right\}, \quad (9)$$

где g_1 — поток излучения через плоскость $\tau = \text{const}$; σ_1 и μ_1 соответственно угловая и пространственная дисперсии распределения интенсивности; A_1 — функция, описывающая корреляцию между пространственными и угловыми координатами. Конкретные выражения для параметров g_1 , σ_1 , A_1 , μ_1 приведены в Приложении (формулы П. 7).

Найдем компоненту рассеянного поля J_2 , являющуюся решением уравнения (8). Для этого воспользуемся особенностью конкретного представления индикатрисы (4), т.е. учтем, что $\beta_2^{(2)} \gg \beta_2^{(1)}$ (для реальных сред можно выбрать $\beta_2^{(2)}/\beta_2^{(1)} \sim 100 \div 1000$). Поскольку пространственно-угловая структура интенсивности J_1 определяется функцией $\chi_1(\beta)$, то при нахождении J_2 можно считать, что

$$\chi_1(|\bar{n}_\perp|) = \delta(\bar{n}_\perp), \quad (10)$$

где $\delta(\bar{n})$ — дельта-функция Дирака. В этом приближении для функции J_1 , входящей в уравнение (8), на основании (6) имеем:

$$J_1(\tau, \bar{r}, \bar{n}_\perp) = (\exp(-(1-\lambda_1)\tau) - \exp(-\tau)) J_0(\bar{r} - \bar{n}_\perp, \tau, \bar{n}_\perp). \quad (11)$$

Тогда уравнение (8) можно переписать в виде

$$\begin{aligned} \hat{D}' J_2(\tau', \bar{r}', \bar{n}_\perp) &= \lambda_2 \int_{-\infty}^{+\infty} d\bar{n}'_\perp \chi_2(|\bar{n}_\perp - \bar{n}'_\perp|) J_2(\tau', \bar{r}', \bar{n}'_\perp) + \lambda_1 B_2(\tau', \bar{r}', \bar{n}_\perp); \\ \hat{D}'(\tau', \bar{r}', \bar{n}_\perp) &= \hat{D}(\tau', \bar{r}', \bar{n}_\perp); \end{aligned} \quad (12)$$

$$B_2(\tau', \bar{r}', \bar{n}_\perp) = \int_{-\infty}^{+\infty} d\bar{n}'_\perp \chi_2(|\bar{n}_\perp - \bar{n}'_\perp|) e^{-\tau' J_0\left(\frac{\bar{r}' - \bar{n}'_\perp \tau}{1 - \lambda_1}, \bar{n}'_\perp\right)},$$

где $\lambda_2 = \frac{\lambda a_2}{1 - \lambda_1}$, $\tau' = (1 - \lambda_1)\tau$, $\bar{r}' = (1 - \lambda_1)\bar{r}$ — транспортные характеристики среды. Заметим, что уравнения (6) и (12) аналогичны по форме, поэтому

$$J_2(\tau, \bar{r}, \bar{n}_\perp; \lambda, \beta_2) = J_1(\tau', \bar{r}', \bar{n}_\perp; \lambda_2, \beta_2^{(2)}) \quad (13)$$

и соответственно решение для J_2 может быть записано в виде (9).

Таким образом формируется полное решение задачи для интенсивности $J = J_{\text{пр}} + J_1 + J_2$, где отдельные слагаемые определяются формулами (3), (9), (13). Выделение малоуглового пика на индикатрисе рассеяния приводит к возможности приближенного разделения рассеянного светового поля на две независимые составляющие. Пространственно-угловая структура одной из них J_1 обусловлена характеристиками пика индикатрисы и является определяющей при формировании рассеянной составляющей светового поля в приосевой зоне на небольших удалениях от границы среды. Вторая составляющая J_2 формирует пространственно-угловую структуру светового поля на более далеких от оси пучка расстояниях и в области больших оптических толщин. Структура этой составляющей интенсивности излучения определяется соответственно широкой частью индикатрисы рассеяния, т.е. функцией $\chi_2(\beta)$, а выделение малоуглового пика приводит к новым (транспортным) характеристикам среды.

Далее рассмотрим преимущества такого «модифицированного» подхода при исследовании пространственно-угловой структуры рассеянного света. Для этого сопоставим результаты расчетов некоторых дифференциальных характеристик рассеянного светового поля для среды с индикатрисой модели облака С.1 [4], проведенных по предложенной методике и в обычном МДП, с результатами аналогичных расчетов в МУП. Последнее было выбрано в качестве основы для сопоставления, так как, строго учитывая индикатрису рассеяния и не навязывая априорного вида решения типа (9), оно гарантирует высокую точность расчета характеристик светового поля на небольших удалениях от границы среды. Сопоставление результатов, полученных в МУП, с расчетами методом Монте-Карло показывает, что оценка яркости в области углов, близких к направлению вперед, при освещении среды бесконечно широким пучком [5] и оценка освещенности в приосевой зоне узкого пучка [6] в МУП справедливы до глубин $\tau \sim 10$.

Будем рассматривать следующие характеристики световых полей: яркость рассеянного света $J_s(\tau, \bar{r} = 0, \bar{n}_\perp = 0)$ в направлении вперед на оси пучка при освещении границы среды пространственно-ограниченным пучком света; яркость $J_s(\tau, \bar{n}_\perp = 0)$ в направлении вперед при освещении среды бесконечно широким пучком; освещенность $E_s(\tau, \bar{r} = 0)$, создаваемая рассеянным светом на оси пучка при освещении среды пространственно-ограниченным пучком. Во всех перечисленных случаях несколько упрощаются многомерные интегралы с осциллирующими функциями, через которые выражаются решения в МУП.

В расчетах использовалась аппроксимация индикатрисы рассеяния

$$\chi(\beta) = \frac{2a_1}{\beta_2^{(1)}} \exp\left\{-\frac{\beta^2}{\beta_2^{(1)}}\right\} + a_2 a^2 \exp\{-\alpha\beta\} \quad (14)$$

с параметрами $a_1 = 0,42$, $\beta_2^{(1)} = 0,001$, $a_2 = 0,58$, $\alpha = 4$, характерными для модели С.1. Потери на рассеяние в заднюю полусферу учитывались введением эффективного альbedo среды (подробнее см. в [7]). Для выбранной модели эффективное значение альbedo $\lambda = 0,96$.

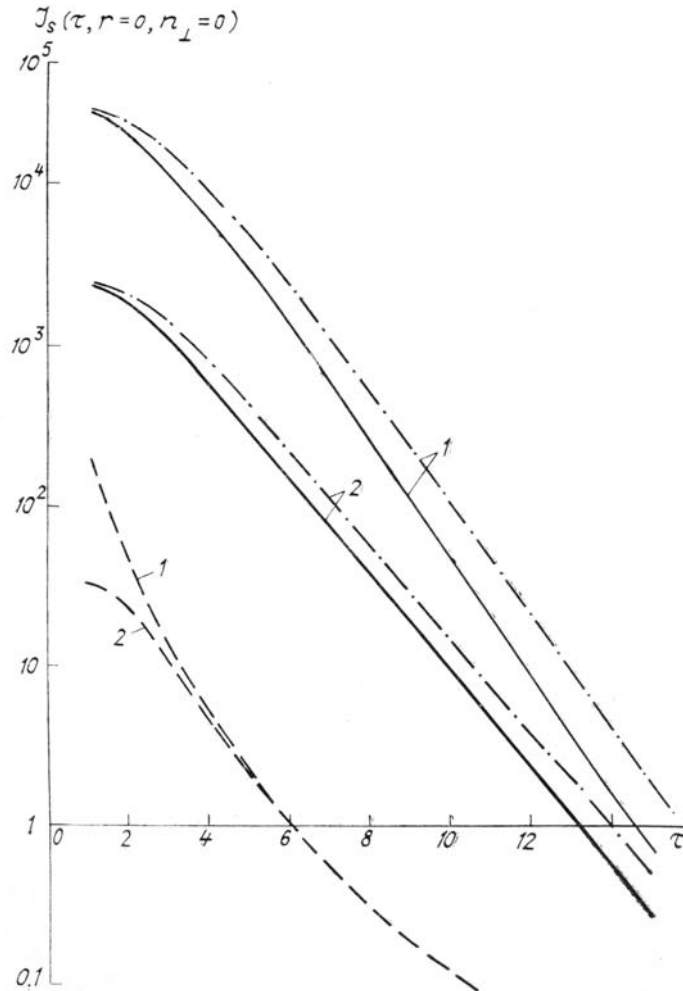


Рис. 1. Зависимость яркости рассеянного света в направлении вперед на оси узкого пучка $J_s(\tau, \bar{r} = 0, \bar{n}_\perp = 0)$ от τ : штрихпунктирные линии — расчет в МУП; сплошные — расчет по предложенной методике; пунктирные — расчет в обычном МДП. 1 — $\sigma_0 = 7,8 \cdot 10^{-5}$, $\mu_0 = 0,01$; 2 — $\sigma_0 = 7,8 \cdot 10^{-3}$, $\mu_0 = 0,1$

На рис. 1 приведены результаты расчетов яркости рассеянного света в направлении вперед на оси узкого пучка $J_s(\tau, \bar{r} = 0, \bar{n}_\perp = 0)$ в МУП, в обычном МДП и по предложенной методике. На рис. 2, 3 приведены результаты аналогичных расчетов яркости в направлении вперед для широкого пучка $J_s(\tau, \bar{n}_\perp = 0)$ и освещенности на оси узкого пучка $E_s(\tau, \bar{r} = 0)$ соответственно. Из рисунков видно, что благодаря более детальному учету формы индикатрисы рассеяния достигается значительное повышение точности расчета интенсивности рассеянного света. С увеличением расходимости падающего на границу среды пучка влияние формы индикатрисы рассеяния ослабевает и различные приближения дают близкие результаты. Однако при исследовании структуры световых полей, создаваемых реальными источниками (солнце, лазер), пренебрежение особенностями формы индикатрисы в малых углах приводит к существенному занижению оценки интенсивности в приосевой зоне пучка в области углов, близких к направлению распространения излучения. Из рисунков видно также, что при больших τ , когда в результате многократного рассеяния поля действительно приближаются к гауссовым распределениям, расчеты по предложенной методике и обычные МДП-решения дают близкие результаты. Оценку области оптиче-

ских толщин, где принципиален учет поправок на форму индикатрисы рассеяния, можно получить, определив τ^* , при которой составляющие интенсивности (освещенности) рассеянного света J_1 и J_2 (E_1 и E_2) становятся равны по величине. Для яркости на оси пучка

$$\tau_j^* = \frac{2}{\lambda a_2} \ln \frac{a_2 \beta_2^{(2)}}{a_1 \beta_2^{(1)}}.$$

Для освещенности на оси пучка или яркости в широком пучке аналогично находим

$$\tau_E^* = \frac{1}{\lambda a_2} \ln \frac{a_2 \beta_2^{(2)}}{a_1 \beta_2^{(1)}} = 0,5 \tau_j^*. \text{ В частности, для облака модели С. 1 } \tau_j^* \approx 24.$$

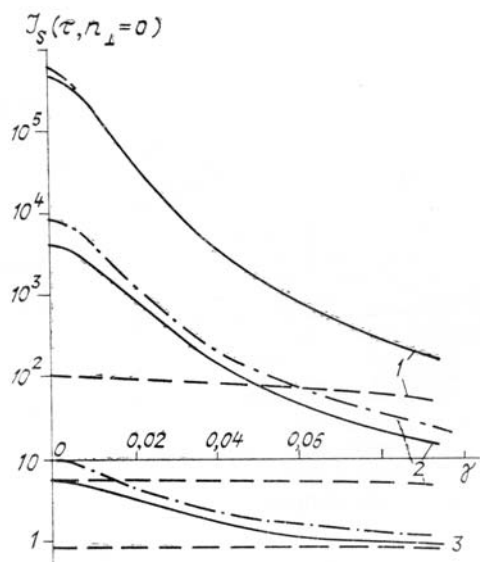


Рис. 2. Зависимость яркости рассеянного излучения в направлении вперед для широкого пучка $J_s(\tau, \bar{n}_{\perp}=0)$ от $\gamma = \sqrt{\frac{\sigma_0}{\pi}}$: штрихпунктирные линии — расчет в МУП; сплошные — по предложенной методике; штриховые — расчет в обычном МДП. 1 — $\tau = 1$; 2 — $\tau = 5$; 3 — $\tau = 10$

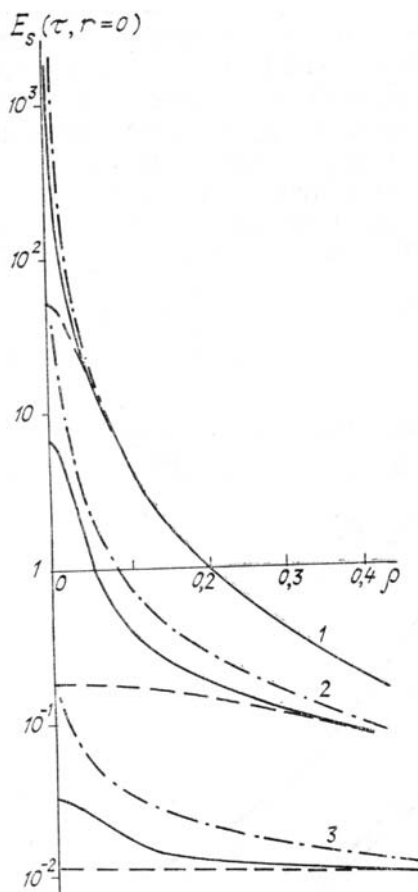


Рис. 3. Зависимость освещенности, создаваемой рассеянным светом, на оси узкого пучка $E_s(\tau, \bar{r}=0)$ от $\rho = \sqrt{\frac{\mu_0}{\pi}}$: штрихпунктирные линии — расчет в МУП; сплошные — расчет по предложенной методике; штриховые — расчет в обычном МДП. 1 — $\tau = 1$; 2 — $\tau = 5$; 3 — $\tau = 10$

В целом из приведенных данных можно сделать вывод, что предложенная методика, более точно учитывающая особенности индикатрисы рассеяния, позволяет заметно улучшить описание пространственно-угловых зависимостей яркости и освещенности. Важно, что это улучшение достигается практически без усложнения расчетной схемы, и решения по-прежнему имеют простой аналитический вид.

ПРИЛОЖЕНИЕ

Будем искать решение уравнения (6) в виде (9). Тогда на основе метода моментов [8] с учетом соотношения (7) и (3) получим систему уравнений для неизвестных функций:

$$\frac{d}{d\tau}(g_1(1 - \sigma_1)) + (1 - \lambda_1)g_1 = \lambda_1 e^{-\tau};$$

$$\frac{d}{d\tau} (g_1 \sigma_1 (1 - 2\sigma_1)) + (1 - \lambda_1) g_1 \sigma_1 = \lambda_1 g_1 \beta_2^{(1)}/2 + \lambda_1 e^{-\tau} (\beta_2^{(1)}/2 + \sigma_0); \quad (\text{П.1})$$

$$\frac{d}{d\tau} (g_1 A_1 (1 - 2\sigma_1)) + (1 - \lambda_1) g_1 A_1 = g_1 \sigma_1 + \lambda_1 e^{-\tau} (A_0 + \sigma_0 \tau);$$

$$\frac{d}{d\tau} (g_1 \mu_1 (1 - \sigma_1) - A_1^2) + (1 - \lambda_1) g_1 \mu_1 = 2 g_1 A_1 + \lambda_1 e^{-\tau} (\mu_0 + 2A_0 \tau + \sigma_0 \tau^2),$$

где

$$g_n = \langle J_n \rangle; \quad \sigma_n = \frac{\langle n_{\perp}^2 J_n \rangle}{2g_n}; \quad A_n = \frac{\langle \bar{n}_{\perp} \bar{r} J_n \rangle}{2g_n}; \quad (\text{П.2})$$

$$\mu_n = \frac{\langle \bar{r}^2 J_n \rangle}{2g_n}; \quad \langle f(\bar{n}_{\perp}, \bar{r}) J_n \rangle = \int_{-\infty}^{+\infty} d\bar{n}_{\perp} \int_{-\infty}^{+\infty} d\bar{r} \langle f(\bar{n}_{\perp}, \bar{r}) J_n(\tau, \bar{r}, \bar{n}_{\perp}) \rangle,$$

считая, что функция J_0 нормирована соотношением $g_0 = 1$.

Заметим, что в средах с сильной анизотропией рассеяния и заметным поглощением основная энергия светового поля сосредоточена в области углов, близких к направлению вперед. Поэтому можно считать, что дисперсия углового распределения $\sigma_1 \ll 1$. С учетом этого неравенства систему уравнений (П.1) можно записать в виде:

$$\begin{aligned} \frac{d}{d\tau} g_1 &= (\lambda_1 e^{-\tau} - (1 - \lambda_1) g_1) (1 + \sigma_1); \\ \frac{d}{d\tau} \sigma_1 &= \lambda_1 \beta_2^{(1)}/2 - (1 - \lambda_1) \sigma_1^2 + \frac{\lambda_1 e^{-\tau}}{g_1} (\sigma_0 + \beta_2^{(1)}/2 - \sigma_1); \\ \frac{d}{d\tau} A_1 &= \sigma_1 - (1 - \lambda_1) \sigma_1 A_1 + \frac{\lambda_1 e^{-\tau}}{g_1} (A_0 + \sigma_0 \tau - A_1); \\ \frac{d}{d\tau} \mu_1 &= 2A_1 - (1 - \lambda_1) A_1^2 + \frac{\lambda_1 e^{-\tau}}{g_1} (\mu_0 + 2A_0 \tau + \sigma_0 \tau^2 - \mu_1). \end{aligned} \quad (\text{П.3})$$

В общем случае получить строгое аналитическое решение системы (П.3) не удастся, хотя ее численное решение не представляет затруднений. Поэтому для нахождения приближенного аналитического решения, применимого во всем диапазоне τ , воспользуемся следующими соображениями. Известно, что МДП достаточно хорошо описывает интегральные характеристики суммарного светового поля $J_{\Sigma} = J_{\text{пр}} + J_1$, распространяющегося в среде, с характеристиками λ_1 и $\chi_1(\bar{n}_{\perp})$. В этом случае при $A_0 = 0$

$$g_{\Sigma} = \frac{\exp(-(1 - \lambda_1)\tau)}{\text{ch } s_1 \tau + u_1 \text{sh } s_1 \tau}; \quad (\text{П.4})$$

$$\sigma_{\Sigma} = \sigma_{\text{гл}}^{(1)} \frac{u_1 + \text{th } s_1 \tau}{1 + u_1 \text{th } s_1 \tau};$$

$$A_{\Sigma} = \frac{1}{1 - \lambda_1} \left(1 - \frac{1}{\text{ch } s_1 \tau + u_1 \text{sh } s_1 \tau} \right);$$

$$\mu_{\Sigma} = \mu_0 + \frac{\tau}{1 - \lambda_1} \left(1 - \frac{\text{th } s_1 \tau}{s_1 \tau (1 + u_1 \text{th } s_1 \tau)} \right),$$

где

$$s_1 = \sqrt{(1 - \lambda_1) \lambda_1 \beta_2^{(1)}/2}; \quad \sigma_{\text{гл}}^{(1)} = s_1 / (1 - \lambda_1); \quad u_1 = \sigma_0 / \sigma_{\text{гл}}^{(1)}.$$

Аналогичные характеристики для прямопрошедшего света имеют вид

$$g_{\text{нн}} = e^{-\tau}; \sigma_{\text{нн}} = \sigma_0; A_{\text{нн}} = \sigma_0 \tau; \mu_{\text{нн}} = \mu_0 + \sigma_0 \tau^2. \quad (\text{П.5})$$

С учетом

$$\langle f(\bar{n}_\perp, \bar{r}) J_\Sigma \rangle = \langle f(\bar{n}_\perp, \bar{r}) J_{\text{н.п}} \rangle + \langle f(\bar{n}_\perp, \bar{r}) J_1 \rangle \quad (\text{П.6})$$

из (П.4) и (П.5) несложно получить следующие выражения:

$$g_1 = \frac{\exp(-(1-\lambda_1)\tau)}{\text{ch } s_1 \tau + u_1 \text{sh } s_1 \tau} - e^{-\tau};$$

$$\sigma_1 = \frac{\sigma_{\text{гл}}^{(1)} \text{th } s_1 \tau / T_1 + \sigma_0}{1 + \text{th } s_1 \tau}; \quad (\text{П.7})$$

$$A_1 = \frac{1}{1-\lambda_1} \left(1 - \frac{1}{\text{ch } s_1 \tau} \right) + \sigma_0 \tau \left(\frac{\text{th } s_1 \tau}{s_1 \tau} - e^{-\lambda_1 \tau} \text{ch } s_1 \tau \right);$$

$$\mu_1 = \mu_0 + \frac{\tau}{1-\lambda_1} \left(1 - \frac{\text{th } s_1 \tau}{s_1 \tau} \right) + \sigma_0 \tau^2 \left(\frac{\text{th } s_1 \tau}{s_1 \tau} - e^{-\lambda_1 \tau} \text{ch } s_1 \tau \right),$$

где $T_1 = 1 - \exp(-\lambda_1 \tau) \text{ch } s_1 \tau$.

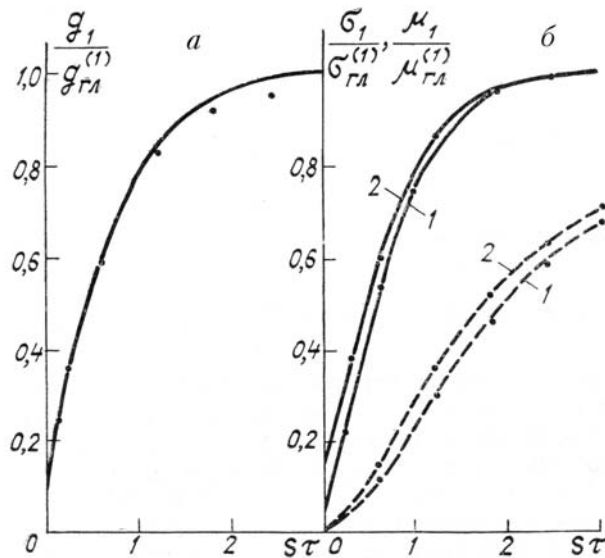


Рис. 4. Параметры пространственно-углового распределения интенсивности рассеянного излучения при $\lambda_1 = 0,96$, $\beta_2^{(1)}/2 = 0,083$. Зависимость $g_1/g_{\text{гл}}^{(1)}$ от $s\tau$ (а), зависимость $\sigma_1/\sigma_{\text{гл}}^{(1)}$ (сплошные линии) и $\mu_1/\mu_{\text{гл}}^{(1)}$ (пунктирные от $s\tau$ (б)) для различных значений σ_0 , 1 — $\sigma_0 = 0$; 2 — $\sigma_0 = 0,1$. Кривые — расчет по формулам (П.7), точки — результаты численного решения системы (П.3)

На рис. 4 приведено сравнение результатов численного решения системы (П.3) и приближенного аналитического решения (П.7). На рисунке представлены величины $g_1/g_{\text{гл}}^{(1)} = \exp(-(1-\lambda_1 + s_1)\tau)$, $\sigma_1/\sigma_{\text{гл}}^{(1)} = \sigma_1 \frac{1-\lambda_1}{s_1}$ и $\mu_1/\mu_{\text{гл}}^{(1)} = \mu_1 \frac{1-\lambda_1}{\tau}$, зависящие только от $s_1\tau$. Видно, что формулы (П.7) хорошо описывают решение системы дифференциальных уравнений (П.3) и могут использоваться в качестве приближенного аналитического решения. Кроме того, это совпадение еще раз иллюстрирует достаточно высокую точность определения интегральных характеристик светового поля в облачном МДП.

1. Зеге Э. П. О некоторых результатах асимптотической теории переноса излучения в поглощающих анизотропно-рассеивающих средах. Приложение к оптике океана и облаков. Минск. 1982. 55 с. (Препринт/Ин-т физики АН БССР, №274).
2. Долин Л. С. //Изв. вузов. Радиофизика. 1964. Т. 7. №2. С. 380—382.

3. Долин Л. С. //Изв. вузов. Радиофизика. 1983. Т. 206. №3. С. 300–309.
4. Дейрменджан Д. Рассеяние электромагнитного излучения сферическими полидисперными частицами. М.: Мир. 1971. 165 с.
5. Kuga Y., Ishimaru A., Chang H.-W., Tsang L. //Appl. Optics. 1986. V. 25. №21. P. 3803–3805.
6. Дрофа А. С., Усачев А. Л. //Изв. вузов. Радиофизика. 1983. Т. 26. №4. С. 408–414.
7. Зеге Э. П., Иванов А. П., Кацев И. Л. Перенос изображения в рассеивающей среде. Минск: Наука и техника. 1985. 327 с.
8. Корн Г., Корн Т. Справочник по математике (для научных работников и инженеров). М.: Наука. 1978. 832 с.

Институт физики АН БССР,
Минск

Поступила в редакцию
28 марта 1988 г.

E. P. Zege, I. L. Katsev, I. N. Polonsky. A Modified Small-Angle Diffusion Approximation Taking into Account the Specific Form of the Scattering Phase Function at Small Angles.

A simple modified small-angle diffusion approximation was developed to account for the effect of the form of the scattering phase function at small angles on the description of the space-angular scattered light and illumination intensity distributions. It is shown that the proposed procedure provides a fairly satisfactory representation of the distributions for any optical depths.